

انتخاب فیلتر در تصویربرداری اسپکت مغز

الهام رئیسی^۱، دکتر حسین رجبی^۲، دکتر محمود رضا آقامیری^۳، دکتر ابراهیم حاجی زاده^۴، دکتر شهرام سیف اللهی^۵، دکتر ناهید یعقوبی^۶، دکتر سید حسن فیروزآبادی^۷، احمد بیطرافان رجبی^۸

^۱دانشجوی دکتری فیزیک پزشکی، دانشگاه تربیت مدرس، ^۲استادیار گروه فیزیک پزشکی دانشگاه تربیت مدرس،

^۳استادیار گروه پرتو پزشکی دانشگاه شهید بهشتی، ^۴دانشیار گروه آمار زیستی دانشگاه تربیت مدرس،

^۵استادیار بخش پزشکی هسته ای بیمارستان قلب شهید رجایی، تهران

(تاریخ دریافت: ۸۵/۴/۱۹، تاریخ اصلاح: ۸۵/۸/۱۰، تاریخ پذیرش: ۸۵/۹/۱۱)

چکیده

مقدمه: یکی از عوامل فنی و تکنیکی که بر روی کیفیت تصاویر اسپکت تأثیر قابل ملاحظه ای دارد فیلتراسیون تصاویر خام می باشد که اگر درست و دقیق انتخاب شوند دقت تشخیصی تصاویر را بطور قابل ملاحظه ای افزایش می دهد.

روش بررسی: کلیه تصاویر به وسیله نرم افزار با روش بازسازی فیلتر بک پروجکشن در حالت بدون فیلتر (Ramp) و فیلترهای Shepp-Cosine، Wiener و Metz، Butterworth، Hanning، Hamming و Logan مورد پردازش قرار گرفتند. هر یک از تصاویر توموگرافیک در ۶۲۰۰ حالت شبیه سازی و هر بار با تصویر مرجع مربوط به آن مقطع مقایسه و مقدار شاخص کلی کیفیت تصویر به عنوان ملاک شbahat با تصویر مرجع محاسبه شد. در روش کیفی تصاویر پردازش شده توسط متخصصین پزشکی هسته ای از نظر قدرت تفکیک، کتراست، صاف بودن تصویر و بطور کلی بهترین تصویر مورد ارزیابی و بررسی قرار گرفت.

یافته ها: انتخاب فیلتر در فانتوم سه بعدی مغز بر اساس چهار پارامتر قدرت تفکیک، کتراست، صاف بودن تصویر و بهترین تصویر گروه بندی شدن. بر اساس نتایج جدول Test-Statistics، بین درصد مربوط به فیلترها اختلاف معنی داری وجود دارد ($p-value < 0.05$).

نتیجه گیری: نتیجه کیفی این مطالعه پیشنهاد می کند که فیلتر Metz و Wiener بهترین کیفیت تصویر از نظر قدرت تفکیک و کتراست را نمایش می دهند. هم چنین نتایج کیفی این مطلب را نشان می دهد که فیلتر Butterworth بهترین کیفیت تصویر را از نظر صاف کنندگی ایجاد می کند. از نظر بهترین تصویر نتایج این تحقیق فیلتر Butterworth را به عنوان بهترین فیلتر معرفی می کند.

واژه های کلیدی: اسپکت، فیلتراسیون، شاخص کلی کیفیت تصویر

مجله پزشکی هسته ای ایران، دوره ۱۵، شماره ۲۷، سال ۱۳۸۶، صفحات ۱-۸

نویسنده مسئول: دکتر حسین رجبی، تهران، بزرگراه جلال آل احمد، دانشگاه تربیت مدرس، دانشکده پزشکی، گروه فیزیک پزشکی،

E-mail: hrajabi@modares.ac.ir

مقدمه

شرایط بهینه برای شبیه سازی تصاویر توموگرافیک مغز بود.

روش بررسی

پروتکل تصویربرداری:

از فانتوم مغز با ۴ لایه استفاده شد. تصویربرداری با استفاده از دوربین گاما دو سر (Nucline مدل Mediso) در دو حالت مجهز به کلیماتور انرژی پایین با رزولوشن بالا انجام پذیرفت. تصاویر تخت در فواصل صفر و ۱۰ سانتیمتری از کلیماتور و اندازه ماتریس 128×128 انجام گرفت. تصویربرداری توموگرافیک با قرار دادن فانتوم در حالت سه بعدی و موازی با محور چرخش دوربین (circular) در شعاع ۲۰ سانتیمتر با جمع آوری 180° تصویر در زاویه چرخش 360° درجه و در ماتریس 128×128 انجام گرفت. این تصویربرداری با دو کلیماتور ذکر شده و شمارش در هر پروجکشن 40000 و 120000 و 200000 انجام گرفت. جهت کاهش خطاهای تصادفی تمام مراحل فوق در ۵ بار تکرار گردید. کلیه تصاویر بدست آمده به فرمت ایترفایل تبدیل و به کامپیوتر شخصی منتقل گردید.

پردازش:

جهت پردازش توده ای دادها یک بسته نرم افزاری در محیط matlab 7 طراحی و بوسیله تصاویر آزمون اعتبار سنگی گردید. هر یک از تصاویر توموگرافیک در 6200 Shepp-Cosine، Cosine (فیلترهای شبیه سازی)، Hanning، Hamming، Logan، Butterworth دو هزار حالت، فیلتر Metz دو هزار حالت، فیلتر Wiener دو هزار حالت) و هر بار با تصویر مرجع مربوط به آن مقطع مقایسه و مقدار شاخص کلی کیفیت تصویر به عنوان ملاک شبه است. تصویر مرجع توسط نرم افزار محاسبه شد (۱۳). در هر بار اجرا کردن توسط نرم افزار، فیلترهای Cosine،

ماهیت تصادفی استحاله هسته های رادیو اکتیو، پراکندگی و تضعیف جریان فوتونی، برخورد فوتون به سطح کولیماتور و آشکارسازی نادرست، طول مدت اسکن، میزان دوز تزریقی به بیمار، اندازه آشکارساز منشأ ایجاد نویز در تصاویر پزشکی هسته ای می باشند. مشکل نویز در پزشکی هسته ای معمولاً با کاربرد فیلترهای دیجیتالی پایین گذر حل می شود (۱-۲). این فیلترها به منظور حذف فرکانس بالا (جایی که سیگنال وجود ندارد یا نویز غالب بوده) طراحی شده اند. برای مطالعات و سیستمهای مختلف فیلترهای دیجیتالی متعددی طراحی شده است. معیارهای متفاوتی برای انتخاب فیلتر مناسب وجود دارد. از جمله آنها می توان بهبود کتراست، قدرت تفکیک، افزایش نسبت سیگنال به نویز، از نظر صاف و نرم بودن تصویر (Smoothing) نام برد (۳). تنوع فیلترهای موجود و تفاوت گسترده در کیفیت تصاویر شرایط پیچیده ای را برای انتخاب و تنظیم فیلتر ایجاد می کند (۴-۵). تعدادی مطالعات نشان داده که آشکار کردن ضایعات با انتخاب نوع فیلتر و به خصوص فرکانس قطع فیلتر به طور جدی تحت تأثیر قرار می گیرند (۶). از اینرو انتخاب نامناسب فیلتر از یک سو می تواند با حذف ضایعات کوچک و یا کاهش کتراست موجب عدم تشخیص بیماری و یا افزایش غیر واقعی کتراست و ایجاد آرتیفیکت موجب تشخیص نادرست گردد. با توجه به میزان بالای پرتو های پراکنده در استخوان جمجمه این مشکل در تصویربرداری از مغز بارزتر و پیچیده تر است (۲). یکی از عمدۀ ترین دلایل این عدم موفقیت عدم وجود روش استاندارد برای پردازش تصاویر مغز است. هر چند مطالعات فراوانی در زمینه تصویربرداری اسپکت انجام شده است (۷-۱۲) اما این مطالعات عمدتاً پیرامون تصاویر توموگرافیک قلب متمرکز بوده اند و کمتر به استاندارد کردن مطالعات مربوط به مغز توجه شده است. هدف از این مطالعه تعیین

منتقل شد و برای کلیه فیلترهای نموداری بر اساس پارامترهای آنها رسم نمود، برای فیلترهای Cosine، Hanning و Hamming، Shepp-Logan و Wiener، Metz، Butterworth دو بعدی و برای نمودار سه بعدی ترسیم شد.

ارزیابی کیفی:

۴۵ گروه هشت تائی تصویر برای هر مقطع بطور تصادفی انتخاب شد که هر گروه شامل یک تصویر مرجع، یک تصویر با فیلتر Ramp و ۷ تصویر فیلتر شده می باشد و توسط چهار متخصص پزشکی هسته ای بطور جداگانه بدون آگاهی از حالات فیلتراسیون تصاویر از نظر قدرت تفکیک، کتراست، صاف بودن تصویر و بطور کلی بهترین تصویر مورد ارزیابی و تفسیر قرار گرفتند.

یافته ها

انتخاب فیلتر در فانتوم سه بعدی مغز بر اساس چهار پارامتر قدرت تفکیک، کتراست، صاف بودن تصویر و بهترین تصویر گروه بندی شدن. بر اساس نتایج جدول Test-Statistics، بین درصد مربوط به فیلترها اختلاف معنی داری وجود دارد ($p-value < 0.05$).

پارامتر قدرت تفکیک:

بر اساس این پارامتر فیلترهای Wiener و Metz دارای بیشترین درصد فراوانی می باشند که از لحاظ آماری اختلاف معنی دار نمی باشد ($p-value < 0.05$) ولی با درصد فراوانی سایر فیلترها دارای اختلاف معنی دار است ($p-value > 0.05$). از اینرو این دو فیلتر (Wiener و Metz) بهترین انتخاب بر اساس قدرت تفکیک می باشند. با در نظر گرفتن نتایج مربوط به نمودار مقایسه ای زوجی بین فیلترها در سطح 0.05% ، فیلترهای Butterworth و Wiener، Metz در یک گروه، Cosine و Shep-Logan در یک گروه و Hamming، Hanning و Ramp در گروه دیگر طبقه بندی می شوند (شکل ۱).

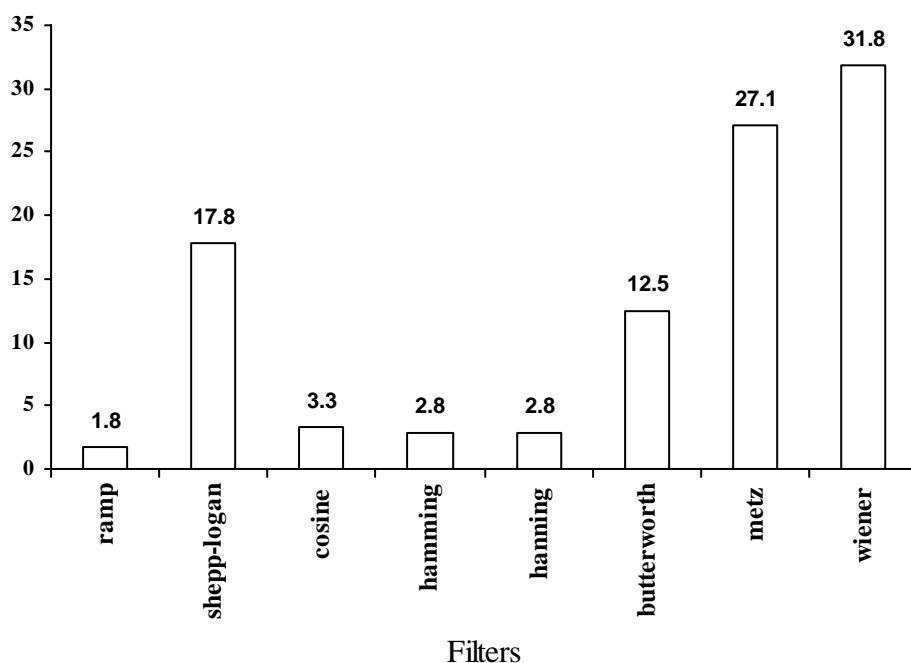
Hanning، Hamming و Shepp-Logan Wiener، Metz، Butterworth و Hanning، Shepp-Logan، Cosine، Hamming و Shepp-Logan: دارای یک پارامتر، فرکانس قطع می باشند. در این نرم افزار مقدار 0.02 و 0.04 و 0.06 و 0.08 برای فرکانس قطع در هر فیلتر تعریف شد که در مجموع حالت های متفاوت در هر فیلتر را شامل می شود.

Butterworth: دارای دو پارامتر قابل تنظیم فرکانس قطع و شبیه می باشد. مقدار 0.01 و 0.02 و 0.03 و 0.05 برای فرکانس قطع و 0.02 و 0.03 و 0.04 برای شبیه استفاده شد. در مجموع دو هزار حالت از فرکانس قطع و شبیه از این فیلتر بررسی شد.

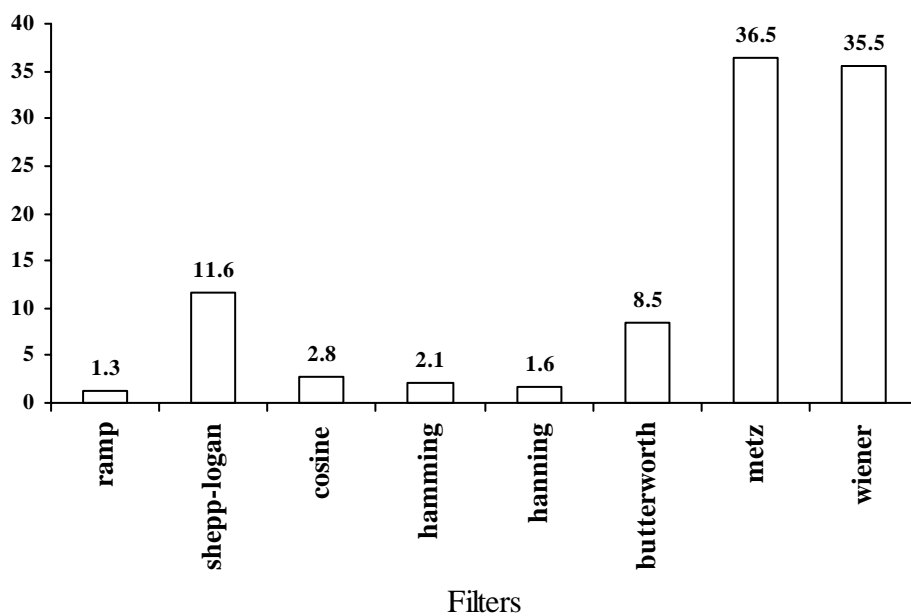
Metz: دارای دو پارامتر MTF و شبیه (order) FWHM می باشد. در نرم افزار به جای MTF پارامتر FWHM استفاده شد. مقدار 0.02 و 0.03 و 0.05 برای FWHM و 0.02 و 0.03 و 0.04 برای شبیه تعریف شد، در مجموع دو هزار حالت از FWHM و شبیه برای این فیلتر بررسی شد.

Wiener: هم دارای دو پارامتر MTF و نسبت نویز به سیگنال می باشد. مقدار 0.02 و 0.03 و 0.05 برای FWHM و 0.02 و 0.03 و 0.05 برای نسبت نویز به سیگنال به کار برد شد. در مجموع دو هزار حالت از FWHM و نسبت نویز به سیگنال برای این فیلتر بررسی شد.

در هر بار اجراء، توسط نرم افزار شش هزار و دویست حالت فیلتری بر روی هر تصویر اعمال می شود و از هر 6200 حالت شبیه سازی بهترین تصویر مربوط به هر حالت فیلتری انتخاب می شد. در مجموع 56 مطالعه که هر مطالعه نه بار با عرض متفاوت پروفایل تکرار گردید و 504 پردازش صورت گرفت. نرم افزار نتایج را به صورت کیفی (Visually) به نمایش گذاشت. هم چنین با توجه به حجم زیاد داده، نتایج توسط نرم افزار به برنامه Excel



شکل ۱- پارامتر های مربوط به قدرت تفکیک



شکل ۲- پارامتر های مربوط به کتراست

گروه دیگر و Ramp در گروه آخر طبقه بندی شدند (شکل ۴).

بحث و نتیجه گیری

انتخاب فیلتر یکی از مهمترین قسمت های پردازش داده ها در تصویربرداری به روش اسپکت است و هم چنین یکی از عوامل مهم و تأثیر گذار بر بازسازی تصاویر می باشد(۱۴). هدف از این مطالعه تعیین شرایط بهینه فیلتراسیون با توجه به میانگین شمارش در هر پیکسل از پروجکشن های توموگرافیک بود که برای این منظور تصاویر تحت فانتوم به عنوان مرجع با تصاویر توموگرافیک بازسازی شده با یکدیگر مقایسه شدند. در این تحقیق از ۷ فیلتر مختلف با پارامترهای متفاوت Hamming، Shepp-Logan، Cosine، Wiener، Butterworth، Hanning و Metz استفاده شد. نتیجه کیفی این مطالعه پیشنهاد می کند که فیلترهای Wiener و Metz بهترین کیفیت تصویر از نظر قدرت تفکیک را نمایش می دهند (۱۵) که با نتایج تئوریک این فیلترها مطابقت دارد. این فیلترها، فیلترهای تقویت کننده هستند که هدف اصلی آنان حذف نویز نمی باشد بلکه بهبود قدرت تفکیک فضائی در طی فرآیند تصویربرداری است و به دلیل تقویت فرکانس ها در ناحیه Reverse و بهبود قدرت تفکیک از نظر تئوریک فیلتر اصلاح کننده می باشند. شکل ۲ نشان می دهد که فیلتر Wiener و Metz بهترین کیفیت تصویر از نظر کنتراست را دارا می باشند (۱۶). هم چنین نتایج کیفی این مطلب را نشان می دهد که فیلتر Butterworth بهترین کیفیت تصویر را از نظر صاف کنندگی ایجاد می کند. با توجه این که این فیلتر، فیلتر صاف کننده تصویر می باشد بنابراین نتیجه این تحقیق با نتایج تئوریک این فیلتر کاملاً مطابقت دارد. بالاخره از نظر بهترین تصویر نتایج این تحقیق فیلتر Butterworth را به عنوان بهترین فیلتر معرفی می کند (۱). پارامتر های نویز به سیگنال ۲/۱ تا ۲/۴ و پهنا در نیمه ماکزیمم (۰/۵۳ تا ۰/۶۳) برای فیلتر

پارامتر کنتراست:

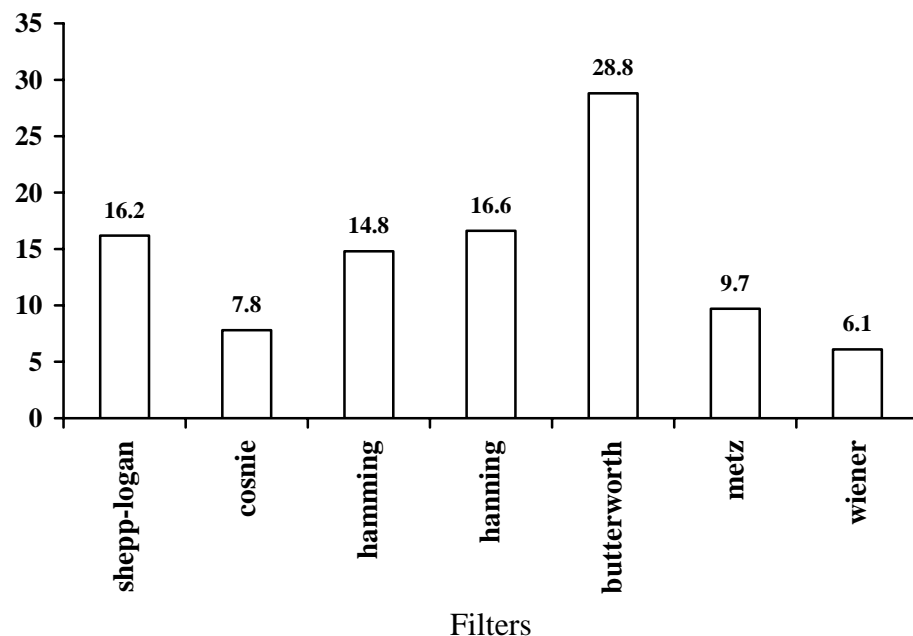
فیلترهای Metz و Wiener بر اساس این پارامتر نیز دارای بیشترین درصد فراوانی می باشند که از لحاظ آماری اختلافشان معنی دار نمی باشد ($p-value < 0/05$) ولی با درصد فراوانی سایر فیلترها دارای اختلاف معنی دار است ($p-value > 0/05$). از اینرو دو فیلتر فوق (Wiener و Metz) دارای بهترین کنتراست می باشند. هم چنین نتایج مربوط به نمودار مقایسه ای زوجی بین فیلترها در سطح $0/05$ نشان می دهد که فیلترهای Shepp و Butterworth Wiener در یک گروه Hamming، Cosine Logan در یک گروه Ramp و Hanning در گروه دیگر قرار می گیرند (شکل ۲).

پارامتر صاف بودن تصویر:

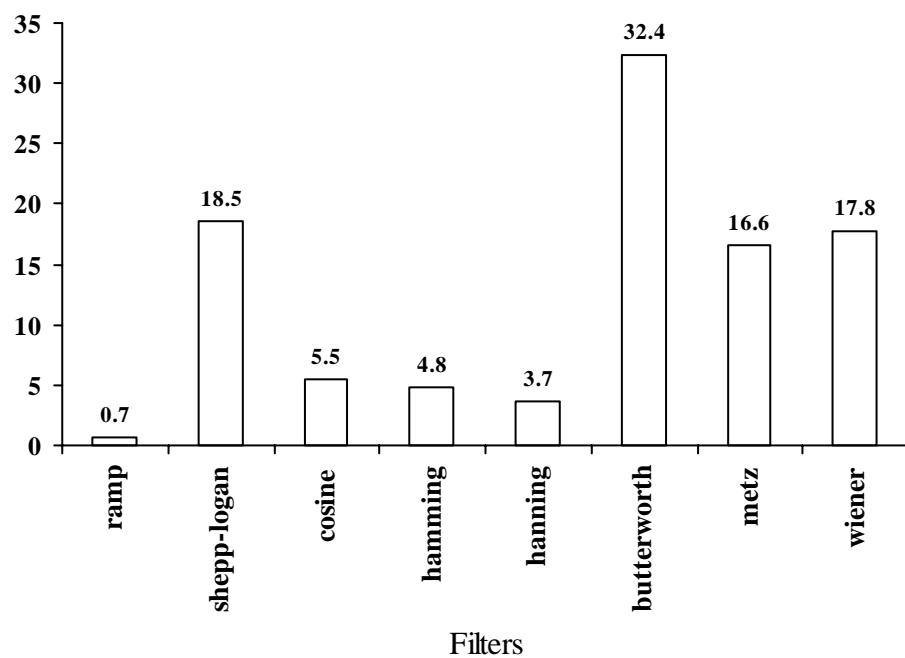
بر اساس این پارامتر فیلتر Butterworth دارای بیشترین درصد فراوانی است که با درصد فراوانی سایر فیلترها اختلاف آن معنی دار است ($p-value > 0/05$). از اینرو می توان Butterworth را به عنوان بهترین فیلتر بر اساس صاف بودن تصویر انتخاب نمود. هم چنین نتایج مربوط به نمودار مقایسه ای زوجی بین فیلترها در سطح $0/05$ نیز، فیلتر Butterworth را در یک گروه فیلترهای Shepp-Logan و Hamming و Hanning در گروه Wiener و Cosine، Metz در یک گروه و دیگر طبقه بندی می شوند (شکل ۳).

پارامتر بهترین تصویر:

بر اساس این پارامتر فیلتر Butterworth دارای بیشترین درصد فراوانی نسبت به سایر فیلترها می باشد ($p-value < 0/05$). بنابراین فیلتر Butterworth به عنوان بهترین فیلتر از لحاظ کیفیت تصویر انتخاب می گردد. و بر اساس نتایج مربوط به نمودار مقایسه ای زوجی بین فیلترها در سطح $0/05$ فیلتر Butterworth در یک گروه، فیلترهای Shepp-Logan و Wiener و Metz در یک گروه Hamming و Cosine و Hanning در



شکل ۳- پارامتر های مربوط به صاف بودن تصویر



شکل ۴- پارامتر های مربوط به بهترین تصویر

عمل می کنند و حتی در بعضی موارد برای تشخیص یک بیماری لازم است تصاویر با هر دو نوع فیلتر صاف کننده و تقویت کننده پردازش شوند زیرا هر کدام از فیلترها اطلاعات خاصی را نمایش می دهند که به تفسیر و تشخیص کمک شایانی می کند.

تشکر و قدردانی

از جناب آقای دکتر هادی ملک و خانم دکتر مهستی عمومی که در تفسیر تصاویر ما را یاری نمودند، صمیمانه سپاسگذاری می گردد.

Wiener، پهنا در نیمه ماکزیمم (۱/۹ تا ۲/۱) و شیب (۶ تا ۱۲) برای فیلتر Metz و فرکانس قطع (۰/۵ تا ۰/۱) و شیب (۱ تا ۵) برای فیلتر Butterworth پارامتر های بهینه حاصل از این تحقیق می باشد. البته در این جا نکته قابل بحث وجود دارد با توجه به منطقه مورد بررسی، نوع عارضه، انتخاب فیلتر و پارامتر آن متفاوت می باشد، بنابراین یک فیلتر بهینه امکان ندارد و به نوع بیماری بستگی دارد این که بافت سفید دچار عارضه شده یا بافت خاکستری درگیر شده است انتخاب فیلتر متغیر می باشد. اگردر بافت سفید عارضه ای وجود داشته باشد، فیلترهای (Metz و Wiener) تقویت کننده ترجیح داده می شود (Metz و Wiener) و بر عکس اگر عارضه ای در بافت خاکستری وجود داشته باشد فیلترهای صاف کننده (Butterworth) بهتر

منابع

1. Gilland DR, Tsui MW, McCartney WH, Perry JR, Berg J. Determination of the optimum filter function for SPECT imaging. *J Nucl Med.* 1988; 29: 643-650.
2. King MA, Coleman M, Penney BC, Glick SJ. Activity quantification in SPECT: A study of prereconstruction Metz filtering and use of the scatter degradation factor. *Med Phys.* 1991; 18(2): 184-189.
3. King MA, Long DT and Brill BA. SPECT volume quantitation: influence of spatial resolution, source size and shape and voxel size. *Med Phys.* 1991; 18(5): 1016-1023.
4. Knoll P, Mirzaei S, Mullner A, Leitha T, Koriska K, Kohn H, Neumann M. An Artificial neural net and error back propagation to reconstruct single photon emission computerized tomography data. *Med Phys.* 1999; 26: 244-248.
5. Suzuki S. Spatially limited filters for the two-dimensional convolution method of reconstruction, and their application to SPECT. *Phys Med Biol.* 1992; 37: 37-52.
6. Pandey A.K, Pant G.S and Malhotra A. Standardization of SPECT filter parameters. *Ind J Nucl Med.* 2004;19(2): 30-35.
7. Sankaran S, Frey EC, Gilland KL, Tsui BM. Optimum compensation method and filter cutoff frequency in myocardial SPECT: A human observer study. *J Nucl Med.* 2002; 43(3): 432-438.
8. Hutton BF, Lau YH.. Application of distance-dependent resolution compensation and post-reconstruction filtering for myocardial SPECT. *Phys Med Biol.* 1998; 43: 1679-1693.
9. Manrique A, Hitzel A, Vera P. Impact of photon energy recovery on the assessment of left ventricular volume using myocardial perfusion SPECT. *J Nucl Cardiol.* 2004;11(3): 312-317.
10. Manrique A, Hitzel A, Gardin I, Dacher JN, Vera P. Impact of wiener filter in determining the left ventricular volume and ejection fraction using thallium-201 gated SPECT. *Nucl Med Commun.* 2003; 24(8): 907-914.
11. Fakhri GE, Buvat I, Benali H, Paola RD.. Relative impact of scatter, collimator response, attenuation, and finite spatial resolution corrections in cardiac SPECT. *J Nucl Med.* 2000; 41: 1400-1408.
12. Hambye AS, Vervae A, Dobbeleir A. Variability of left ventricular ejection fraction and volumes with quantitative gated SPECT: Influence of algorithm, pixel size and reconstruction Parameters in small and normal-sized hearts. *Eur J Nucl Med Mol Imaging.* 2004; 31(12): 1606-1613.
13. Wang Z, Bovik AC A Universal Image Quality Index. *IEEE Signal Processing Letters.* 2002; Vol.XX, No.Y:1-4.
14. Taylor D. Filter choice for reconstructs tomography. *Nucl Med Commun.* 1994; 15: 857-859.

15. Kim HJ, Karp JS, Mozley P.D, Yang SO, Moon DH, Kung HF, et al. Stimulating technetium-99m cerebral perfusion studies with a three dimensional hoffman brain phantom: collimator and filter selection in SPECT neuroimaging. Ann Nucl Med.1996; 10(1): 153-160.
16. Madsen MT, Chang W, Hihwa RD. Spatial resolution and count density requirements in brain SPECT imaging. Phys Med Biol. 1992; 37: 1724-1744.